

[2039] 二段配筋の内側主筋位置における付着割裂破壊

対比地健一^{*1}・川村厚司^{*2}・高木仁之^{*3}・狩野芳一^{*4}

1. 本研究の背景と目的

耐震設計の合理化のために高配筋、高強度主筋などの利用が目指されるようになり、異形鉄筋の周辺で生じる付着割裂破壊の問題が一層重要となった。本研究は、主筋が二段配筋された場合の内側主筋位置で生ずる付着割裂の強度を明らかにしようとするものである。

主筋が一段に配置された場合の付着割裂強度については、藤井・森田[5]その他の多くの研究成果があるが、二段配筋の場合についてはまだ満足な結果は得られていない。松原ら[3]は、梁の実験を行い、二段配筋の付着割裂破壊には外側主筋位置で生じるものと内側主筋位置で生じるものとがあり、外側主筋位置での付着割裂強度はほぼ藤井・森田式[5]で扱えるが、内側主筋位置で付着割裂破壊が生じる場合、その強度は藤井・森田式に比べ極めて低く、両者は区別して扱う必要があることを指摘した。これらの結論は、大屋戸ら[6]の研究によっても裏付けられており、大屋戸らは、二段目主筋の付着強度は最大で τ_{co} (藤井・森田式で無補強のときの強度)程度までしか保ち得ないとしている。

筆者らは、片持ち梁形式試験法を用いて、二段配筋の内側主筋の付着割裂強度に及ぼす要因について検討してきたが[1][2]、川村ら[1]は以下のことを明らかにした。

- (1) 横補強筋のない場合、内側主筋のみに加力したときの付着割裂強度は藤井・森田式による算定式とほぼ一致する。
- (2) 外側主筋を囲むように横補強筋を配置すると、補強筋が内側主筋の付着割裂強度を増加する効果は外側主筋に対する効果より大きいが、補強筋の効果は外側主筋の引張力が大きい程低下し、一般には内側主筋の付着割裂耐力は外側主筋の場合より低くなる。
- (3) 内側主筋の付着割裂強度がひび割れ強度も終局強度も藤井・森田式に比べて著しく低いのは、外側主筋の引張力によって内側主筋割裂面に生ずるせん断応力の影響と考えられる。

これらの知見に基づき、本論文では更に実験結果をつけ加えて総合的な検討を行い、二段配筋の内側主筋の付着割裂強度を推定する実験式を提案し、梁形式試験の場合も含めてその適合性を検証するものである。

2. 実験概要

2.1 試験体

試験体一覧を表-1に、試験体配筋図を図-1に示す。試験体は二段配筋に改良した片持ち梁形式試験体16組(32体)で、全試験体共に二段配筋内側主筋位置でのサイドスプリット型の破壊モードで耐力に至るよう計画した。梁幅・梁せい・試験区間長・主筋配列は共通とした。変動因子は、主筋径db・横補強筋比pw・加力比γ(内側に配された主筋の総引張力に対する外側に配された主

*1 明治大学大学院 工学研究科建築学専攻(正会員)

*2 大成建設㈱構造設計第3部 工修

*3 明治大学助手 理工学部建築学科 工修(正会員)

*4 明治大学教授 理工学部建築学科 工博(正会員)

筋の総引張力の比)である。試験体製作に当たっては、自由端での支承反力による主筋拘束を絶縁するためにアンボンド処理、亀裂発生方向限定のためにスリット、想定されるせん断ひび割れ発生位置に補強材をそれぞれ施した。また、コンクリート打設方向を試験体側面からの平打ちとすることにより、上端・下端筋の相違をなくし、以後水平上端筋以外として扱うこととした。

2.2 加力及び測定方法

加力は一方向単調載荷とし、内側・外側主筋に加力比 γ に合わせそれぞれ個別の引張力を与えた。測定は、内側主筋は主筋区間を4等分した位置と載荷端、外側主筋は載荷端で全ての主筋において歪度測定した。横補強筋の歪度測定は、各足の内側主筋位置より1[cm]梁中央部側にずらした位置で測定した。主筋滑り量は、試験体の剛な位置(図-1中、A点)のコンクリートに対する相対滑り量として、全主筋の載荷・自由端それぞれで測定した。

表-1 試験体一覧および実験結果

	主筋				横補強筋				コンクリート強度 F _c	主筋 総荷重 P _{max} kgf/cm ²	内側主筋 最大平均 降伏強度 σ_y kgf/cm ²	耐力時 作用せん断 力の度合 $\tau_{a,max}$	耐力時 横補強筋 応力度 $\tau_{s,max}$	内主筋 自由端 滑り量 Sf, in mm	破壊 モード (*)	
	外側 主筋	内側 主筋	降伏強度 σ_y kgf/cm ²	加力比 γ (*)	径 d mm	ピッチ s mm	降伏強度 σ_y kgf/cm ²	横補強筋 筋比 P _w [%]								
1 DCL0-0	2-D23	3-D23	10833	0.00	—	—	—	—	363.3	23.01	21.24	0.00	—	—	0.021	SB
2 DCL23-0	2-D23	3-D23	10833	0.33	—	—	—	—	363.3	23.05	18.44	0.10	—	—	0.085	SB
3 DCL33-0	2-D23	3-D23	10833	0.33	—	—	—	—	363.3	24.28	18.50	0.13	—	—	0.061	SB
4 DCL47-0	2-D23	3-D23	10833	0.33	—	—	—	—	363.3	26.32	18.95	0.13	—	—	—	SB
5 DCL52-0	2-D23	3-D23	10833	0.33	—	—	—	—	363.3	27.92	16.65	0.11	—	—	0.059	SB
6 DCL67-0	2-D23	3-D23	10833	0.67	—	—	—	—	363.0	26.75	14.86	16.26	—	—	0.103	SB
7 DCL0-0S	2-D19	3-D19	7333	0.00	—	—	—	—	365.0	21.08	23.42	0.00	—	—	0.025	SB
8 DCL33-0S	2-D19	3-D19	7333	0.33	—	—	—	—	365.0	24.42	20.36	0.31	—	—	0.131	SB
9 DCL33-80S	2-D19	3-D19	7333	0.33	8	6.3	9933	0.80	362.0	49.47	41.18	17.24	25.72	8	0.492	B
10 DCL33-125S	2-D18	3-D18	7333	0.33	10	2.9	10183	1.25	362.0	20.83	38.60	24.33	1466.3	0.894	B	
11 DCL33-22	2-D23	3-D23	10833	0.33	—	12.5	10850	1.25	362.0	41.88	22.18	22.70	2195.3	0.420	SB	
12 DCL33-34	2-D23	3-D23	10833	0.33	—	6	8.89	10850	0.34	363.3	52.04	31.03	28.14	2474.8	0.920	SB
13 DCL33-55	2-D23	3-D23	10833	0.33	—	6	8.89	10850	0.45	363.3	57.61	30.30	31.22	3021.6	0.631	SB
14 DCL55-60	2-D23	3-D23	10833	0.55	—	6	8.89	9933	0.60	363.3	60.12	32.82	32.55	2043.6	0.832	SB
15 DCL55-80	2-D23	3-D23	10833	0.55	—	10	8.89	10183	0.80	346.1	64.11	38.18	34.82	1884.1	0.902	SB
16 DCL55-94	2-D23	3-D23	10833	0.55	10	6	8.89	10183	0.94	346.1	68.25	40.11	36.81	3162.4	0.803	SB
17 DCL55-125	2-D23	3-D23	10833	0.55	10	6	8.89	10183	1.25	32.53	42.43	30.37	30.37	1949.4	0.133	SB
18 DCL67-22	2-D23	3-D23	10833	0.33	6	12.5	10850	0.55	362.0	52.83	42.84	39.37	3042.3	0.127	SB	
19 DCL67-34	2-D23	3-D23	10833	0.33	6	6	8.89	10850	0.54	362.0	40.81	39.41	4684.6	0.326	SB	
20 DCL67-45	2-D23	3-D23	10833	0.33	6	6	8.89	10850	0.45	362.0	42.23	35.26	25.69	3883.4	0.326	SB
21 DCL67-60	2-D23	3-D23	10833	0.33	6	6	8.89	9933	0.60	363.3	45.85	25.40	27.98	3061.2	0.693	SB
22 DCL67-80	2-D23	3-D23	10833	0.33	6	6	8.89	9933	0.80	346.1	46.04	25.76	25.68	2820.0	0.900	SB
23 DCL67-94	2-D23	3-D23	10833	0.33	6	10	8.89	10183	0.94	346.1	52.90	28.96	31.94	2608.0	0.802	SB
24 DCL67-125	2-D23	3-D23	10833	0.33	6	6	8.89	10183	1.25	362.0	52.83	32.36	32.34	3042.3	0.108	SB
25 DCL67-80S	2-D19	3-D19	7333	0.67	8	6	8.89	10850	0.80	362.0	25.40	32.74	32.74	5782.0	0.817	B
26 DCL67-94S	2-D18	3-D18	7333	0.67	10	6	8.89	10183	0.94	362.0	32.33	29.53	30.89	3089.8	0.133	SR
27 DCL67-125S	2-D18	3-D18	7333	0.67	10	6	8.89	10183	1.25	362.0	61.64	41.10	34.48	3007.6	0.959	B
28 BCJ-80-80	2-D23	3-D23	10833	0.80	8	8	9933	0.80	363.3	54.61	28.01	31.03	2829.5	0.770	SB	
29 BCJ-80-125	2-D23	3-D23	10833	0.80	10	6.3	10183	0.94	363.3	69.71	32.80	41.23	2172.5	0.901	SB	
30 DCL100-80	2-D23	3-D23	10833	1.00	8	6.3	9933	0.80	363.3	73.88	37.92	50.08	2072.4	1.137	SB	
31 DCL100-125	2-D23	3-D23	10833	1.00	10	6.3	10183	1.25	385.0	63.24	29.23	48.20	2548.1	1.198	SB	
32 DCL100-125	2-D23	3-D23	10833	1.00	10	6.3	10183	1.25	385.0	61.26	28.38	46.60	3449.2	1.013	SR	

共通事項

断面 $(b \times D) = 20[\text{cm}] \times 52[\text{cm}]$

付着長さ $(L) = 50[\text{cm}]$

$$*1) \gamma = P_{out}/P_{in} = (b \cdot s_1 / \pi) \times (\tau_{s,max} / \tau_{a,max})$$

*2) SB : 内側主筋位置の付着割離(破壊), $\tau_{a,max} = \tau_u$ とする
B : 内側主筋の付着破壊(主筋節頂部をむすぶせん断破壊)

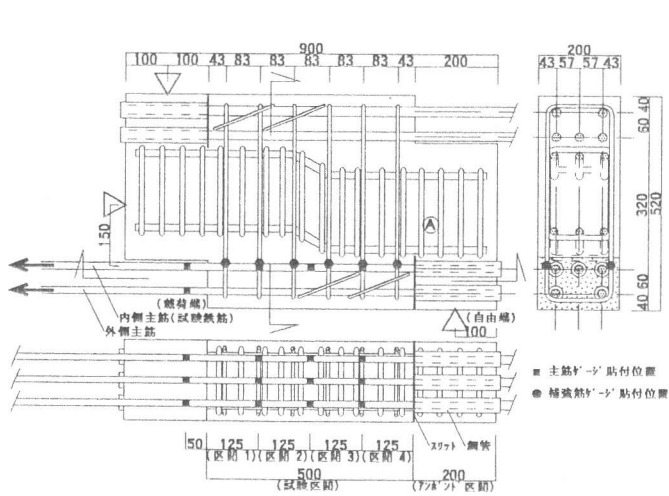


図-1 試験体配筋図

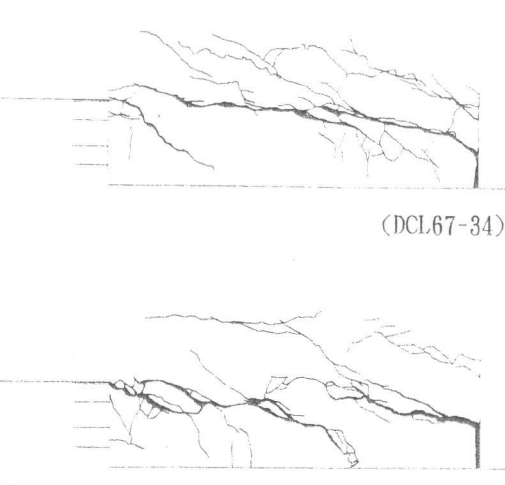


図-2 亀裂図

3. 実験結果

表-1に実験結果一覧を示す。内側主筋位置でのサイドスプリット型付着割裂破壊で耐力に至った試験体は32体中28体確認された。また、割裂を伴わない付着破壊(内側主筋節頂部を結ぶせん断破壊)が4体確認された。No.25は載荷方法に問題が残り検討より除外する。また、全試験体において主筋は降伏していない。尚、検討に関しては文献[1]の試験体も用いる。

3.1 破壊状況

図-2に最大耐力後の亀裂図を示す。無補強試験体は付着ひび割れ発生とほぼ同時に破壊に至っており、破壊は急激で激しい結果であった。補強筋を配し、内側主筋位置で付着割裂破壊を起こした試験体の破壊状況は一様で、内側主筋位置での付着ひび割れとせん断状のひび割れがつながることにより破壊耐力に至る結果であった。補強筋比が高くなるに伴い、付着ひび割れ発生後から破壊時までの荷重は維持され、破壊時のひび割れの本数は多く確認された。

3.2 主筋滑り量

図-3に加力比0.55の試験体の平均付着応力度-自由端平均主筋滑り関係を示す。全試験体とも無補強の試験体の最大平均付着応力度(およそ15[kgf/cm²])程度まではほぼ滑り量はなく同じ様な挙動を示すが、それ以後は滑り量が増大しており、補強筋比が高い試験体ほど大きな滑り量で耐力に至っている傾向が確認された。補強筋比が高い試験体は耐力後の維持強度は高いが、最大耐力後の強度低下勾配、強度低下後の強度維持勾配共に補強筋比によらない結果であった。

4. 無補強試験体の付着割裂耐力

本実験結果では、無補強試験体は付着ひび割れ発生と同時に付着割裂耐力に至り、ひび割れ発生強度と無補強試験体の付着割裂強度は同等であると考えられる。そこで破壊モードがサイドスプリット型の場合の部材のひび割れ発生条件を考える。

主筋の付着力による割裂力TRは、図-4に示すように割裂抵抗面に作用している。尚、付着ひび割れ発生以前に主筋は降伏しないものとする。

一段配筋のときの割裂抵抗面における割裂力TRは式(1)のように表すことができる。割裂抵抗面コンクリートの引張抵抗力と、ひび割れ発生時に割裂面に対して法線方向に生じている鉄筋とコンクリートとの付着力の和を割裂抵抗力Rtと捉え、式(2)のように表す。ひび割れ発生条件TR=Rtより、ひび割れ発生強度は式(3)で表される。

$$TR = k_1 \cdot n \cdot d_b \cdot \tau_{BC} \cdot \Delta \ell \quad (1)$$

$$Rt = (b - n \cdot d_b) F_t \cdot \Delta \ell + \alpha \cdot \tau_{BT} \cdot n \cdot d_b \cdot \Delta \ell \quad (2)$$

$$\tau_{BC} = \left[k_2 \left(\frac{b}{n \cdot d_b} - 1 \right) + k_3 \right] \sqrt{F_c} = (k_2 \cdot b_{si} + k_3) \sqrt{F_c} \quad (3)$$

ここで、 τ_{BC} :ひび割れ発生時付着応力度、n:主筋本数、 $\Delta \ell$:付着長さ、Fc:コンクリート圧縮強度、

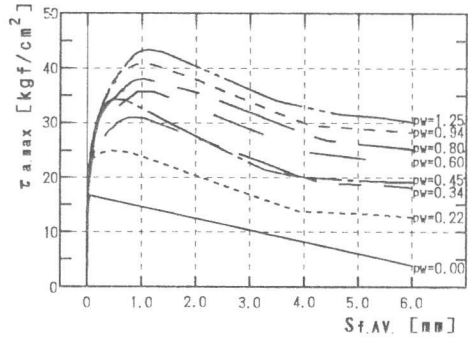


図-3 平均付着応力-自由端滑り曲線

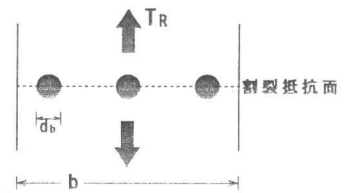


図-4 割裂抵抗面の割裂力

F_t : コンクリート引張強度($= \beta_1 \cdot \sqrt{F_c}$ と仮定), τ_{BT} : 割裂面に対して法線方向の付着強度($= \beta_2 \cdot \sqrt{F_c}$ と仮定), bsi : 割裂面におけるコンクリートと鉄筋の幅の比, α 及び $k_1 \sim k_3$ は未知の定数である。このような割裂抵抗面における割裂機構より導いた式(3)は、藤井・森田式の τ_{co} 算定式の形に一致し、現在さまざまな提案式において用いられている同氏らの τ_{co} 算定式の形の根拠をなすものであると考えられる。

二段配筋の内側主筋の場合も一段配筋時と同様な考え方により Rt は式(1)で、 Rt は外側主筋の引張力による作用せん断応力を τ_s として割裂面のひび割れ時引張応力を主応力度式によって評価すると、式(2')のように表され、ひび割れ発生強度は式(3')で表すことができる。

$$Rt = (b - n \cdot db) F_t \cdot \left[1 - \left(\frac{\tau_s}{F_t} \right)^2 \right] \Delta \ell + \alpha \cdot \tau_{BT} \cdot n \cdot db \cdot \Delta \ell \quad (2')$$

$$\tau_{BC} = (k_2' \cdot bsi + k_3') \sqrt{F_c} - k_4 \cdot bsi \left(\frac{\tau_s}{\sqrt{F_c}} \right)^2 \cdot \sqrt{F_c} \quad (3')$$

式(3')において、 $\tau_s = 0$ のとき、藤井・森田式の τ_{co} 算定式の形に一致する。

図-5は、式(3')における作用せん断力 τ_s によるひび割れ強度低減の関係を、本実験結果(無補強・主筋径D23)により整理したものである。本実験結果は、藤井・森田式の τ_{co} に比べ若干低めの値を示しているが、無補強試験体の付着割裂強度 τ_{BO} は式(4)で評価される。尚、式(3')の k_2' , k_3' は藤井・森田式によりそれぞれ 0.375, 0.521とした。

$$\frac{\tau_{BO}}{\sqrt{F_c}} = \frac{\tau_{co}}{\sqrt{F_c}} - 0.238 \cdot bsi \cdot \left(\frac{\tau_s}{\sqrt{F_c}} \right)^2 \quad (4)$$

5. 補強効果

5.1 主筋位置による補強効果の差異

図-6に全試験体の断面梁幅方向外側に配された主筋(INNER RE-BAR 1, 3)に対する中側の主筋(INNER RE-BAR 2)の付着割裂強度の比を示す。実験値はほぼ 1.0 の値を示しており、文献[1]で示されているように二段配筋の内側主筋は外周のみに横補強した場合でも、配筋位置によらず同等の付着強度となる。これは、二段配筋のときは補強による拘束力が内側主筋に対す

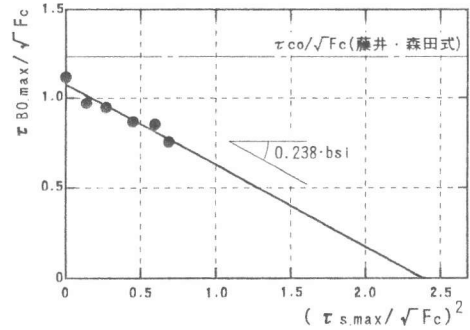


図-5 無補強試験体の付着割裂強度

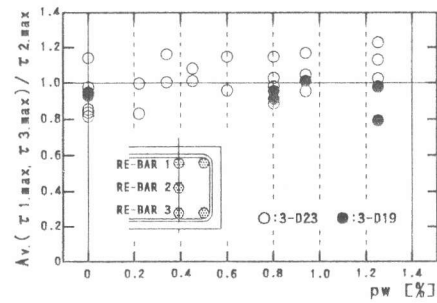


図-6 主筋位置による補強効果の差異

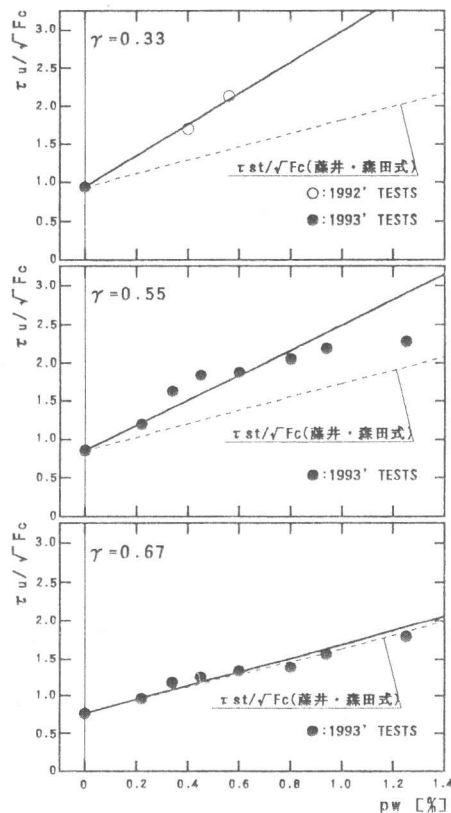


図-7 加力比による補強効果の影響

るかぶりコンクリートを通じて均等化させるためと理解できる。上記の結果は、付着割裂強度は同一段の全主筋平均値として取り扱っても問題がないことを示している。

5.2 加力比が補強効果に与える影響

図-7に主筋径D23を用いた内側主筋の付着割裂強度と補強筋比の関係を加力比により分類して示す。図中には比較のために、無補強試験体の強度を原点として藤井・森田式による横補強筋增加分強度 τ_{st} を同時に示した。文献[1]の結果同様、内側主筋に対しては、加力比が低い場合は藤井・森田式の τ_{st} に比べ補強効果はかなり大きく、加力比増加に伴い補強効果が減少することが解る。

6. 二段配筋の内側主筋の付着割裂強度

内側主筋の付着割裂強度は外側主筋引張力によるせん断力により低減される。そこで、外側主筋の引張力の影響を評価するために、 τ_s (割裂面作用せん断応力度または単に作用せん断応力とよぶ)を以下のように定義する。

$$\tau_s = \frac{P_{out}}{(b - n \cdot d_b)L} = 3.14 \frac{\gamma}{b_{si}} \tau_u \quad (5)$$

ここで、 P_{out} : 外側主筋引張荷重、 L : 付着長さ、 τ_u : 内側主筋付着割裂強度である。

6.1 τ_s が作用しない場合の付着割裂強度

図-8に加力比が0の試験体[1][2]の最大付着応力度から無補強の試験体の最大付着応力度を差し引いた付着応力度と補強効果との関係を示す。表-1によれば、最大耐力時の横補強筋応力は通常の鉄筋の降伏耐力に達していないので、補強効果には横補強筋の強度を含めていない。図-8の結果、および当研究室の一連の片持ち梁形式引き抜き実験で無補強試験体の付着強度が藤井・森田式の τ_{co} に比べ9割程度であることを考慮して、 τ_s が作用しないときの内側主筋の付着割裂強度を式(6)のように表す。

$$o\tau_u = 0.9 \cdot \tau_{co} + 83.67 \frac{p_w \cdot b}{n \cdot d_b} \sqrt{F_c} \quad (6)$$

6.2 τ_s が作用する場合の付着割裂強度

図-9に式(6)による計算値に対する内側主筋の付着割裂強度の比と τ_s の関係を示す。本実験結果は文献[1]での結果同様ほぼ一直線上に分布する。従って、 τ_u と τ_s の関係は式(7)の様に書ける。

$$\frac{\tau_u}{o\tau_u} + \frac{\tau_s}{o\tau_s} = 1 \quad (7)$$

ここで、文献[1]の試験体も含めると、 $\tau_u/o\tau_u=0$ のとき

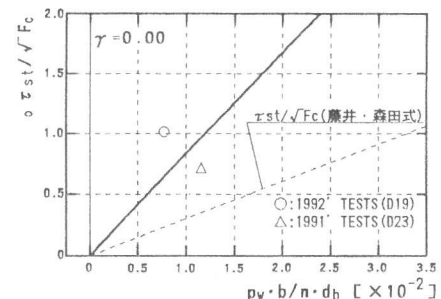


図-8 内側主筋への補強効果

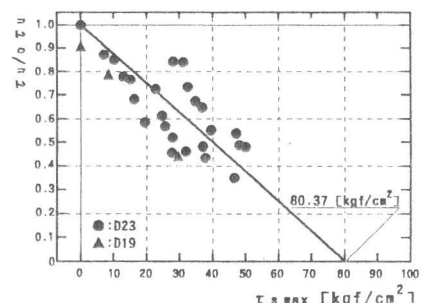


図-9 作用せん断力による強度低下

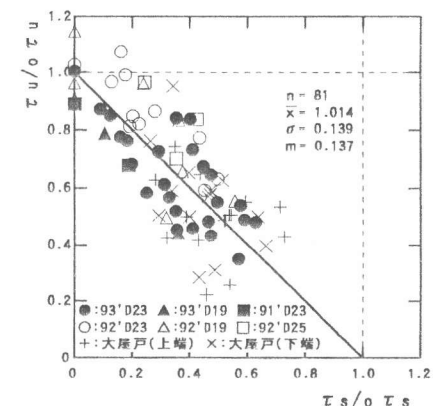


図-10 片持ち梁形式との適合性

の τ_s の値は式(7)により表す
ことができる.

$$_0 \tau_s = 4.18 \cdot \sqrt{Fc} \quad (8)$$

文献[1], [2](無補強及び外周部のみの補強), および[8](内・外同

配筋のもの)の試験体を式(7)により評価した結果を本実験結果も含め図-10に示す。式(7)は全試験体を通して、片持ち梁実験結果を比較的よく捉えているといえる。

7. 梁による実験結果との対応

表-2に示す既往の梁形式実験[3][6][7]において、二段配筋内側主筋位置での付着割裂破壊と判定された試験体の最大耐力と、式(8)による二段配筋内側主筋の付着割裂強度より部材のせん断耐力を算出した値の関係を図-12に示す。本来は τ_u について比較すべきであるが、文献には τ_u が直接示されていないのでここでは部材耐力で比較した。尚、耐力算出はトラス・アーチ機構を仮定した奥出らの方法[4]により行い、加力比 γ 、およびトラス機構の負担せん断力 QT は図-11に示した仮定に従い式(9)、(10)により算出した。

$$\gamma = \frac{\sum a_{ti}({}_o d - x_n)}{\sum a_{ti}({}_i d - x_n)} \quad (9)$$

$$Q_T = \tau_u \cdot \sum_i \phi_i(ij + \gamma \cdot oj) \quad (10)$$

表-2 既往の梁形式実験の概要

加力方法試験		断面	形状寸法	厚さ	主筋配列	補強筋	比補強筋降伏強度	比強度	比強度	比強度	比強度	比強度
	体積 D(cm)		L/D	[kg/cm ²]	(外側/内側)	[%]	[kg/cm ²]	γ	η	η	η	η
松原ら[3]	単調載荷	2	20×40	4	376	B-D-3/3-D-3 B-D-3/3-D-19	0.41	9040	1.33 1.95			
						2-D-3/6-D-3 3-D-3/6-D-13			0.40 0.61			
大屋戸ら[6]	正負繰返	6	22×33	4	321	D-3/3/6-D-3 5-D-16/5-D-16 4-D-3/4-D-3 6-D-3/6-D-3	0.48	8010	1.21 1.26 1.31 1.21	○		
						373						
古川ら[7]	正負繰返	1	18×27	4	830	D-3/3/3-D-3	0.62	8950	1.23	△		

△：計算に際しての有効係数は、 $\nu = 3.68 F_c^{-0.333}$ (CEB) を用いた

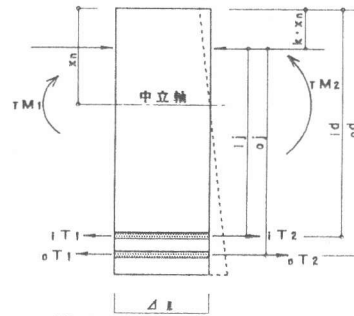


図-11 微小区間の力の釣り合い

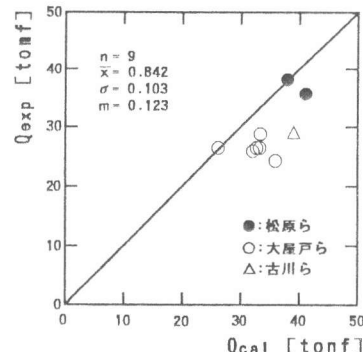


図-12 梁形式実験との適合性

ここで、 Σ_{ato} , Σ_{ati} : 外側, 内側主筋各総断面積, $\Sigma \phi_i$: 内側主筋の周長和である(その他の記号は図-11参照)。ほとんどの試験体で若干危険側に判定され、以後検討の余地はあるが、片持ち梁形式実験結果より導いた二段配筋の内側主筋位置での付着割裂強度の算定式を用いて梁部材の内側主筋位置での付着割裂耐力をほぼ評価できるといえる。

8. 結論

- (1) 内側主筋の付着割裂強度は、外側主筋引張力により内側主筋割裂面に作用するせん断力の影響により大幅に低下すること、及び補強筋の効果も外側主筋と異なることを確認した。
 - (2) 内側主筋位置でのひび割れ発生時の条件を整理し、実験結果によって係数を定めて、無補強試験体の二段配筋内側主筋位置での付着割裂強度算定式を導き出した。
 - (3) 二段配筋の内側主筋付着割裂強度を外側主筋引張力による作用せん断応力と補強筋量等を指標として定式化し、実験式が梁形式実験を含めて既往の実験結果とよく適合することを確認した。

併せて定量化し、実験式を用いた大騒音を含む現地の天候と未だよく適合するかを検討した。

[参考文献] [注: 大会梗概集・日本建築学会大会学術講演梗概集]

- [1] 川村厚司, 他: 二段階筋における内側主筋位置の付着剝離破壊(その1, 2), 大会梗概集, C構造 II, pp. 221-224, 1993. 9
- [2] 川村厚司, 他: 主筋の配列と横補強筋の効果が主筋の付着性状に及ぼす影響(その3, 4), 大会梗概集, C構造 II, pp. 935-938, 1992. 8
- [3] 松原洋志, 他: 二段階筋されたRC柱の付着剝離破壊, クワリト工学年次論文報告集, Vol. 13, No. 2, pp. 151-156, 1991
- [4] 齐奥久人, 他: 付着剝離破壊に支配される梁のせん断耐力, クワリト工学年次論文報告集, Vol. 11, No. 2, pp. 81-87, 1989
- [5] 鹿井伸哉, 森田司朗: 异形筋鉄の付着剝離強度に関する研究, 第2報・日本建築学会論文報告集, 第324号, pp. 45-53, 1983. 2
- [6] 大屋虎理明, 他: 2段階筋を有する鉄筋クリア型の付着性状, クワリト工学年次論文報告集, Vol. 15, No. 2, pp. 187-192, 1993
- [7] 古川淳, 他: 高强度低合金クリア型の付着剝離破壊, クワリト工学年次論文報告集, Vol. 14, No. 2, pp. 547-552, 1992
- [8] 大屋虎理明, 他: 2段階筋を有する鉄筋クリア型の付着剝離強度(その1, 2), 大会梗概集, C構造 II, pp. 249-252, 1991. 9